

УДК 532.517.2 : 536.25

ТЕПЛО- И МАССООБМЕН ПРИ ЕСТЕСТВЕННОЙ КОНВЕКЦИИ  
НА ВЕРТИКАЛЬНОЙ ПОРИСТОЙ ПОВЕРХНОСТИ ПРИ ВДУВЕ  
УГЛЕКИСЛОГО ГАЗА В ВОЗДУХ

*П. М. Брдлик, В. И. Дубовик, И. С. Молчадский*

(*Москва*)

Приводятся результаты численного расчета ламинарного пограничного слоя при свободной конвекции бинарной смеси углекислый газ — воздух на вертикальной нагретой поверхности. Даётся сопоставление численного решения с приближенным аналитическим решением и экспериментом.

При наличии в пограничном слое нескольких компонент обычный механизм переноса энергии осложняется диффузионными эффектами. Дифференциальные уравнения ламинарного пограничного слоя, описывающие свободную конвекцию бинарной смеси около вертикальной поверхности с учетом диффузионного переноса энергии имеют вид

$$\frac{\partial u}{\partial x} + \frac{\partial v}{\partial y} = 0 \quad (1)$$

$$u \frac{\partial u}{\partial x} + v \frac{\partial u}{\partial y} = v \frac{\partial^2 u}{\partial y^2} + g \beta_T (T - T_\infty) + g \beta_m (m_1 - m_{1\infty}) \quad (2)$$

$$u \frac{\partial T}{\partial x} + v \frac{\partial T}{\partial y} + \frac{c_{p1} - c_{p2}}{\rho_\infty c_{p\infty}} j_1 \frac{\partial T}{\partial y} = - \frac{1}{\rho_\infty c_{p\infty}} \frac{\partial q}{\partial y} \quad (3)$$

$$u \frac{\partial m_1}{\partial x} + v \frac{\partial m_1}{\partial y} = - \frac{1}{\rho_\infty} \frac{\partial j_1}{\partial y} \quad (4)$$

$$q = -k \frac{\partial T}{\partial y} + \frac{a_T R M^2 T}{M_1 M_2} j_1 \quad (5)$$

$$j_1 = -\rho_\infty D \frac{\partial m_1}{\partial y} \quad (6)$$

Границные условия

$$\begin{aligned} y = 0, \quad u = 0, \quad v = v_w, \quad T = T_w, \quad m_1 = m_{1w} \\ y = \infty, \quad u = 0, \quad T = T_\infty, \quad m_1 = m_{1\infty} \end{aligned} \quad (7)$$

Здесь  $x$  — координата, направленная вдоль поверхности;  $y$  — координата, перпендикулярная поверхности;  $u$ ,  $v$  — составляющие скорости по осям  $x$  и  $y$ ;  $T$ ,  $T_w$ ,  $T_\infty$  — температура соответственно внутри пограничного слоя, на вертикальной поверхности и за пределами пограничного слоя;  $m$ ,  $m_w$  — массовая концентрация активной компоненты соответственно внутри пограничного слоя, на вертикальной поверхности, за пределами пограничного слоя;  $\beta_T$ ,  $\beta_m$  — температурный и концентрационный коэффициенты объемного расширения;  $v$  — кинематическая вязкость;  $k$  — коэффициент теплопроводности;  $c_{p1}$ ,  $c_{p2}$  — удельная теплоемкость актив-

ной компоненты (углекислый газ) и воздуха;  $a_T$  — термодиффузионная постоянная;  $M, M_1, M_2$  — молекулярный вес смеси активной компоненты и воздуха;  $R$  — газовая постоянная смеси.

В системе уравнений (1) — (4) физические свойства среды приняты постоянными. Плотность среды, входящая в выражение подъемной силы, зависит от температуры среды и концентрации активной компоненты. Температура поверхности  $T_w$  и концентрация активной компоненты на поверхности  $m_{1w}$  постоянны. Второй член в правой части уравнения (5) описывает перенос тепла диффузионной теплопроводностью (эффект Дюфо). При определении потока массы по формуле (6) термодиффузия не учитывалась.

Введем переменную  $\eta = c_1 y x^{-\frac{1}{4}}$ , где

$$c_1 = \left[ \frac{\beta^3 T (T_w - T_\infty)}{4v^2} \right]^{1/4}$$

и функцию тока

$$\psi = 4v c_1 x^{3/4} f(\eta) \quad (8)$$

такую, что

$$u = \frac{\partial \psi}{\partial x}, \quad v = -\frac{\partial \psi}{\partial y}$$

Система (1) — (4) сводится к обыкновенным дифференциальным уравнениям. В новых переменных составляющие скорости  $u, v$  имеют вид

$$u = 4v c_1^2 x^{1/2} f'(\eta), \quad v = v c_1 x^{-1/4} [f'(\eta) - 3f(\eta)] \quad (9)$$

а уравнение движения (2) преобразуется

$$f'''(\eta) + 3f(\eta)f''(\eta) - 2f'^2(\eta) + \theta(\eta) + e\varphi(\eta) = 0 \quad (10)$$

Из уравнений энергии (3) и диффузии (4) соответственно получаем

$$\theta''(\eta) + [3Pf(\eta) + a\varphi'(\eta)]\theta'(\eta) - 3Scf(\eta)\varphi'(\eta) = 0 \quad (11)$$

$$\varphi''(\eta) + 3Sf(\eta)\varphi'(\eta) = 0 \quad (12)$$

где

$$\theta(\eta) = \frac{T - T_\infty}{T_w - T_\infty}, \quad \varphi(\eta) = \frac{m_1 - m_{1\infty}}{m_{1w} - m_{1\infty}}, \quad e = \frac{\beta_m}{\beta_T} \frac{m_{1w} - m_{1\infty}}{T_w - T_\infty}$$

$$\beta_m = \frac{M_2 - M_1}{M_1 - (M_2 - M_1)m_{1w}}, \quad a = \frac{c_{p1} - c_{p2}}{c_p} (m_{1w} - m_{1\infty}) L$$

$$c = \frac{a_T R M^2 T_w}{c_p M_1 M_2} \frac{m_{1w} - m_{1\infty}}{T_w - T_\infty} L, \quad c_p = c_{p1} m_{1w} + c_{p2} (1 - m_{1w})$$

$P$  — число Прандтля,  $S$  — число Шмидта,  $L$  — число Льюиса.

Границные условия в новых переменных

$$\begin{aligned} \eta = 0, \quad f' = 0, \quad f_w = \text{const}, \quad \theta = 1, \quad \varphi = 1 \\ \eta = \infty, \quad f' = 0, \quad \theta = 0, \quad \varphi = 0 \end{aligned} \quad (13)$$

Величина  $f_w$  определяется из условия полупроницаемости вертикальной поверхности (поверхность не проницаема для воздуха)

$$f_w = -\frac{1}{3S} \frac{m_{1\infty} - m_{1w}}{1 - m_{1w}} \varphi'(0) \quad (14)$$

Система нелинейных дифференциальных уравнений (10) — (12) с граничными условиями (13) решалась численным методом прогонки на вычислительной машине М-20 с применением итерационного процесса [1, 2].

Результаты счета для бинарной смеси углекислый газ — воздух приведены в таблице. Для расчета задаются следующие величины:  $T_w/T_\infty$ ,  $P$ ,  $S$  (или  $L$ )

$$D_D = \frac{a_T R M^2 T_w}{\bar{M}_1 \bar{M}_2 C_p (T_w - T_\infty)}$$

где  $D_D$  — критерий Дюфо. Параметры  $a$ ,  $c$ ,  $e$  вычисляются в зависимости от параметра вдува. Эти величины можно определить по данным таблицы.

$f_w$	$\theta'(0)$	$\varphi'(0)$	$f''(0)$	$N (1/4 G)^{-1/4}$	$m_{1w}$	$N/N_0$
0	-0.5034	-0.0000	0.6454	0.5034	0	1
-0.005	-0.4842	-0.5986	0.6022	0.4716	0.027	0.957
-0.01	-0.4671	-0.5757	0.5561	0.4652	0.064	0.924
-0.02	-0.4302	-0.5236	0.4500	0.3834	0.151	0.762
-0.03	-0.3745	-0.4662	0.2338	0.3134	0.185	0.623

Тепловой поток в бинарной смеси зависит от молекулярной и диффузионной теплопроводности и определяются по формуле (5), которая преобразуется к виду

$$q_x = -k c x^{-1/4} (T_w - T_\infty) [\theta'(0) + L D_D (m_{1w} - m_{1\infty}) \varphi'(0)]$$

или в безразмерном виде

$$N_x = - (1/4 G x)^{1/4} [\theta'(0) + c \varphi'(0)] \quad (15)$$

где коэффициент  $C$  определен выше.

Аналогично из соотношения (6), которое соответствует диффузии массы без учета термодиффузии, найдем число Шервуда

$$N_D = - (1/4 G x)^{1/4} \varphi'(0) \quad (16)$$

В результате можно построить профили температуры, скорости, концентрации в пограничном слое, а также тепловые и массовые потоки.

Проведены эксперименты по определению профилей концентраций при вдуве углекислого газа в воздух на вертикальной пористой поверхности в ламинарном пограничном слое при одновременном переносе тепла и массы в условиях естественной конвекции. Углекислый газ вдувался через медную пористую пластинку размером  $200 \times 300 \text{ mm}^2$ , которая заделана в герметический короб, имеющий автономную систему нагрева. Нагрев пластины осуществлялся лучистыми нагревателями. Такой способ нагрева дает возможность получать однородную температуру по всей рабочей поверхности.

Лучистые нагреватели были выполнены в виде двойного ряда зеркальных и фракрасных ламп. Степень нагрева пористой пластины регулировалась изменением напряжения в цепи питания ламп. Расход газа изменился ротаметром типа РС-3. Контроль равномерности нагрева и измерение температуры пластины производились медью-константановыми термопарами, заделанными на поверхности пластины.

Термопары изготавливались из медного провода диаметром 0.1 мм и константана диаметром 0.15 мм.

Показания термопар замерялись потенциометром Р-306. Для определения полей температур и концентраций использовался интерферометр Маха — Цендера. Световой поток направлялся параллельно короткой стороне пластины. Обработка интерферограмм велась по формуле

$$X_1 = \left[ \frac{\lambda ST}{lp} + \frac{K_2}{R_2} \left( \frac{T}{T_\infty} - 1 \right) \right] \left( \frac{K_1}{R_1} - \frac{K_2}{R_2} \right)^{-1} \quad (17)$$

Здесь  $\lambda$  — длина волны монохроматического света,  $S$  — безразмерное смещение интерференционной полосы,  $X$  — объемная концентрация,  $p$  — давление,  $K$  — постоянная Даля — Гладстона,  $l$  — ширина модели.

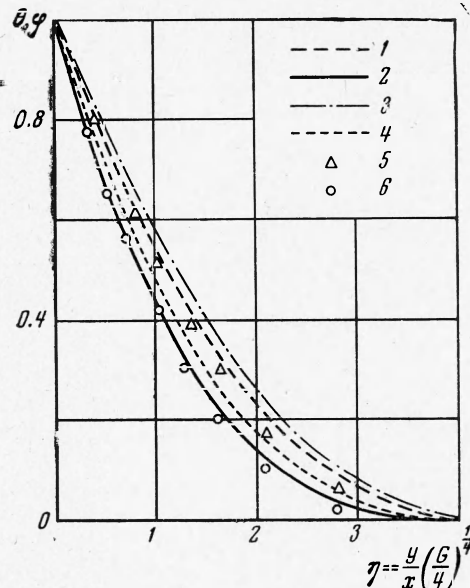
Массовая концентрация связана с объемной следующим соотношением:

$$m_1 = M_1 X_1 [M_1 X_1 + M_2 (1 - X_1)]^{-1}$$

Для получения профиля концентраций при обработке интерферограмм по формуле (17) необходимо знать температурное поле в исследуемом сечении. Измерение температуры в пограничном слое производилось координатником.

Термопара координатника изготавливалась из тех же проводов, что и термопары для замера температуры поверхности пластины. Запись показаний велась на электронный ленточный самописец.

На фигуре сравниваются профили температуры и концентрации, полученные экспериментально и численным методом, с данными работы [3], в которой имеется приближенное аналитическое решение. Кривые 1, 3 и точки 5 представляют собой численный, приближенный [3] и экспериментальный профили температуры в пограничном слое при  $f_w = -0.01$ ,  $P = 0.71$ ,  $S = 0.86$ ,  $D_D = 0.2$ ,  $L = 0.83$  и  $T_w/T_\infty = 1.1$ . Кривые 2, 4 и точки 6 — соответствующие профили концентрации углекислого газа.



Поступила 5 IV 1971

#### ЛИТЕРАТУРА

- Березин И. С., Жидков Н. П. Методы вычислений, т. 2. М., Физматгиз, 1959.
- Брдлик П. М., Мочалов В. А., Дубовик В. И. Ламинарная свободная конвекция на вертикальной поверхности, осложненная конденсацией или испарением. Научн. тр. научн.-исслед. ин-та строит. физ. Госстроя СССР, 1967, вып. 2.
- Брдлик П. М. Тепло- и массообмен в бинарном ламинарном пограничном слое при естественной конвекции. Инж.-физ. ж., 1969, т. 16, № 6.